

# Идентификация Квантовых Вихрей в Импульсном Пространстве

Н.В. Ларионов, В.М. Молчановский

Санкт-Петербургский государственный морской технический университет,  
ул. Лоцманская, д. 3, Санкт-Петербург, 190121, Россия.

e-mail: [larionov.nickolay@gmail.com](mailto:larionov.nickolay@gmail.com)

**Аннотация.** В работе теоретически исследуются квантовые вихри, образующиеся в результате надбарьерной ионизации двумерного атома водорода сверхкоротким лазерным импульсом. Анализируется поток вероятности в импульсном пространстве. При этом используется как стандартное выражение для потока, так и его «симметричный» аналог. Последний, вследствие чувствительности к фазе волновой функции, позволяет идентифицировать квантовые вихри.

**Ключевые слова:** квантовый вихрь, импульсное представление, поток вероятности

**Введение.** Одним из нетривиальных эффектов, возникающих при ионизации атома, является образование квантовых вихрей [1-10]. Эти вихри проявляют себя как возмущения в плотности вероятности для фотоэлектрона. Центр вихря представляет собой запрещенную для фотоэлектрона область, вокруг которой векторное поле потока вероятности имеет спиралевидную структуру.

В [4-6], используя как численный, так и аналитический подходы, мы изучали формирование и эволюцию квантовых вихрей, образующихся при надбарьерной ионизации двумерного атома водорода сверхкоротким лазерным импульсом. Аналитический подход был основан на решении уравнения Шредингера с помощью нестационарной теории возмущений. Была получена волновая функция фотоэлектрона, которая успешно использовалась для идентификации центров квантовых вихрей и дальнейшего сравнения с численными расчётами. Однако векторное поле потока вероятности с её помощью не анализировалось. Здесь мы восполним этот пробел, при этом будем использовать как стандартное выражение для потока в импульсном

пространстве, так и альтернативное выражение, чувствительное к фазе волновой функции.

Этот альтернативный «поток» был введен в работе [11] и является величиной «симметричной» по отношению к потоку, записанному в координатном представлении.

**Теоретическая модель.** Будем использовать систему атомных единиц, в которой уравнение Шредингера для двумерного атома водорода, взаимодействующего с лазерным импульсом, имеет вид

$$i \frac{\partial}{\partial t} |\Psi(t)\rangle = (\hat{H}_0 + \hat{V}) |\Psi(t)\rangle, \quad (1)$$

где  $\hat{H}_0$  – гамильтониан свободного атома,  $\hat{V} = -\hat{\mathbf{d}}\mathbf{F}(t)$  – оператор взаимодействия атома с электрическим полем лазера  $\mathbf{F}(t)$ ,  $\hat{\mathbf{d}} = -\hat{\mathbf{r}}$  – оператор дипольного момента.

Как и в предыдущих наших работах будем искать решение уравнения (1) в приближении сильного поля. Это означает, что в расчётах пренебрежём возбужденными состояниями атома, и не будем учитывать кулоновское воздействие на фотоэлектрон. Также будем считать, что изменения населенности основного (начального) состояния атома пренебрежимо малы. Тогда решение уравнения Шредингера (1) может быть записано в виде следующей суперпозиции

$$|\Psi(t)\rangle = |\Psi_{1,0}^{(0)}\rangle e^{-iE_1 t} + \sum_{m=0,\pm 1,\dots}^{\infty} \int b_{k,m}(t) |\Psi_{k,m}^{(0)}\rangle e^{-iE_k t} k dk. \quad (2)$$

Здесь первое слагаемое соответствует основному состоянию атома с энергией  $E_1 = -1/2$ , характеризуемого вектором  $|\Psi_{1,0}^{(0)}\rangle$ . Нижние индексы «1,0» указывают на значения главного квантового числа  $n=1$  и проекции момента на ось  $z$   $m=0$ . Второе слагаемое представлено суперпозицией векторов состояний фотоэлектрона  $|\Psi_{k,m}^{(0)}\rangle$ , которые будем описывать цилиндрическими волнами. Индексы « $k,m$ » указывают на то, что это состояние характеризуется энергией  $E_k = k^2/2 = (k_x^2 + k_y^2)/2$  и проекцией момента  $m=0, \pm 1, \pm 2, \dots$

Так как нашей задачей является идентификация квантовых вихрей в импульсном пространстве, то перепишем (2) в соответствующем представлении

$$\Psi(\mathbf{k}, t) \equiv \langle \mathbf{k} | \Psi(t) \rangle = \frac{2}{(k^2 + 1)^{3/2}} \Phi_0(\varphi_k) e^{-iE_l t} + \sum_{m=0, \pm 1, \dots} b_{k,m}(t) (-i)^{|m|} \Phi_m(\varphi_k) e^{-iE_k t}, \quad (3)$$

где  $\mathbf{k} = (k, \varphi_k)$  - импульс электрона в полярной системе координат,  $\Phi_m(\varphi_k) = e^{im\varphi_k} / \sqrt{2\pi}$  и были использованы явные выражения для волновых функций в импульсном представлении (см. [6])

$$\Psi_{1,0}^{(0)}(\mathbf{k}) \equiv \langle \mathbf{k} | \Psi_{1,0}^{(0)} \rangle = \frac{2\Phi_0(\varphi_k)}{(k^2 + 1)^{3/2}}, \quad \Psi_{k',m}^{(0)}(\mathbf{k}) \equiv \langle \mathbf{k} | \Psi_{k',m}^{(0)} \rangle = (-i)^{|m|} \frac{\delta(k' - k)}{k'} \Phi_m(\varphi_k). \quad (4)$$

Разложение (3) позволяет вывести замкнутое уравнение для неизвестных коэффициентов  $b_{k,m}(t)$ . Для этого подставим (3) (или (2)) в уравнение Шредингера (1), тогда, учитывая явный вид оператора взаимодействия в импульсном представлении

$$\hat{V} = \mathbf{F}(t) \cdot i\partial / \partial \mathbf{k} = F_x(t) i\partial / \partial k_x + F_y(t) i\partial / \partial k_y, \quad \text{получаем}$$

$$\begin{aligned} \frac{\partial b_{k,m}(t)}{\partial t} &= \frac{(-i)}{2} \left( F_-(t) \delta_{m,1} + F_+(t) \delta_{m,-1} \right) \frac{6k \cdot e^{i\omega_{k1}t}}{(k^2 + 1)^{5/2}} + \\ &+ \frac{(-i)^{|m-1|-|m|}}{2} F_-(t) \left( \frac{\partial}{\partial k} - ik \cdot t - \frac{m-1}{k} \right) b_{k,m-1}(t) + \frac{(-i)^{|m+1|-|m|}}{2} F_+(t) \left( \frac{\partial}{\partial k} - ik \cdot t + \frac{m+1}{k} \right) b_{k,m+1}(t), \end{aligned} \quad (5)$$

где  $\omega_{k1} = (k^2 + 1)/2$ ,  $F_{\pm}(t) = F_x(t) \pm iF_y(t)$ . Система (5) соответствует системе, полученной нами ранее в работе [6], однако здесь поляризация поля произвольна.

Решая систему (5) с помощью теории возмущений можно получить следующее выражение для части волновой функции (3), соответствующей непрерывному спектру

$$\begin{aligned} \tilde{\Psi}(\mathbf{k}, t) &= -i \left[ b_{k-1,10}^{(1)}(t) \Phi_{-1}(\varphi_k) + b_{k1,10}^{(1)}(t) \Phi_1(\varphi_k) \right] e^{-iE_k t} + \\ &+ b_{k0,10}^{(2)}(t) \Phi_0(\varphi_k) e^{-iE_k t} - \left[ b_{k-2,10}^{(2)}(t) \Phi_{-2}(\varphi_k) + b_{k2,10}^{(2)}(t) \Phi_2(\varphi_k) \right] e^{-iE_k t}, \end{aligned} \quad (6)$$

где верхний индекс у амплитуд соответствует порядку теории возмущений (см. [5,6]), а добавленный нижний индекс «10» указывает на начальное связанное состояние электрона.

Знак тильда над  $\Psi$  подчеркивает (в [5,6] было принято обозначение  $\tilde{\Psi}(\mathbf{k}, t) = b(\mathbf{k}, t) e^{-iE_k t}$ ), что связанное состояние опущено, т.е. в нашем дальнейшем рассмотрении интерференцией между начальным и конечными состояниями электрона пренебрегается.

Нашей задачей является идентификация квантовых вихрей в импульсном пространстве. Для этого будем использовать следующие два определения для потока вероятности в импульсном пространстве  $\mathbf{k}$

$$\mathbf{j}(\mathbf{k}, t) = \mathbf{k} |\tilde{\Psi}(\mathbf{k}, t)|^2, \quad \bar{\mathbf{j}}(\mathbf{k}, t) = -\frac{1}{2i} [\tilde{\Psi}^*(\mathbf{k}, t) \nabla_{\mathbf{k}} \tilde{\Psi}(\mathbf{k}, t) - \tilde{\Psi}(\mathbf{k}, t) \nabla_{\mathbf{k}} \tilde{\Psi}^*(\mathbf{k}, t)]. \quad (7)$$

Здесь  $\mathbf{j}(\mathbf{k}, t)$  - стандартное выражение для потока вероятности в импульсном пространстве, а  $\bar{\mathbf{j}}(\mathbf{k}, t)$  - «симметричный» поток вероятности [11], где  $\nabla_{\mathbf{k}} = \partial / \partial \mathbf{k}$ .

Как показано нами ранее [5,6], квантовые вихри, появляющиеся в процессе ионизации атома, обусловлены интерференцией состояний фотоэлектрона. Следовательно, для того чтобы корректно описать эти вихри необходимо знание о фазе волновой функции.

Выделим эту фазу в найденной волновой функции (6):  $\tilde{\Psi}(\mathbf{k}, t) = |\tilde{\Psi}(\mathbf{k}, t)| e^{i\chi(\mathbf{k}, t)}$ , где  $\chi(\mathbf{k}, t)$  - фаза. Если подставить  $\tilde{\Psi}(\mathbf{k}, t)$  в стандартное определение потока вероятности  $\mathbf{j}(\mathbf{k}, t)$ , то фаза  $\chi(\mathbf{k}, t)$  исчезнет, а идентификация квантового вихря будет возможна, в основном, по нулям волновой функции. Другое дело для альтернативного потока  $\bar{\mathbf{j}}(\mathbf{k}, t)$ . В самом деле, подставив  $\tilde{\Psi}(\mathbf{k}, t)$  в выражение для  $\bar{\mathbf{j}}(\mathbf{k}, t)$  получаем  $\bar{\mathbf{j}}(\mathbf{k}, t) = -|\tilde{\Psi}(\mathbf{k}, t)|^2 \nabla_{\mathbf{k}} \chi(\mathbf{k}, t)$ .

**Результаты расчётов и обсуждения.** Напряженность поля лазерного импульса промоделируем следующим выражением

$$\mathbf{F}(t) = \mathbf{e}_x F_0 \cos(\omega t) [\theta(T-t) - \theta(-t)], \quad (8)$$

где  $\theta(x)$  - функция Хэвисайда,  $F_0$  - постоянная амплитуда,  $\omega$  - частота,  $T$  – длительность импульса,  $\mathbf{e}_x$  - единичный вектор в направлении оси  $x$ .

Значения параметров импульса выберем близкими к тем, для которых ранее были идентифицированы квантовые вихри [4-6]:  $F_0 = 0.6$ ,  $\omega = \pi$ ,  $T = 2$ . Будем интересоваться установившимся решением, т.е. исследовать  $\tilde{\Psi}(\mathbf{k}, t)$  (6) на временах  $t > T$ .

Сделаем несколько замечаний относительно выбранных параметров. Значение амплитуды поля берется таким, чтобы преобладала надбарьерная ионизация, но при этом  $F_0 < 1$ . Это позволяет оставаться в пределах используемых теоретических приближений. На «масштаб» вихря сильно влияет продолжительность импульса  $T$  [4]. Как показывают расчёты при  $T < 1$  вихрь не успевает сформироваться и его невозможно идентифицировать. При переходе к большим значениям  $T > 10$  запрещённая область постепенно «размазывается» и в конечном итоге вихрь теряет свою индивидуальность, а «картина» становится похожа на ту, которая имеет место при ионизации монохроматическим полем.

На рисунке 1 представлены графики распределения по импульсам фотоэлектрона  $|\tilde{\Psi}(k_x, k_y, t > T)|^2$  1a,b) (для более четкого отображения график строится для  $\ln|\tilde{\Psi}|^2$ ) и соответствующие векторные поля для стандартного потока вероятности  $\mathbf{j}(k_x, k_y, t > T)$  1c) и «симметричного» потока  $\bar{\mathbf{j}}(k_x, k_y, t > T)$  1d).

Для выбранных параметров наблюдаются два симметричных вихря с центрами в точках  $k_x \approx 0, k_y \approx \pm 2.3$ . На Рис.1a) эти центры выделены кружочками, а на Рис.1b) центр вихря с положительной координатой  $k_y \approx 2.3$  показан в увеличенном масштабе.

Рисунок 1c) иллюстрирует векторное поле соответствующее стандартному определению потока вероятности в импульсном пространстве. Можно видеть, что в окрестности центра вихря  $k_x \approx 0, k_y \approx 2.3$  векторное поле никак не выделено и совпадает с усреднённым полем скоростей в данной области импульсного пространства. Только более тёмный фон на графике указывает на наличие запрещённой области для фотоэлектрона.

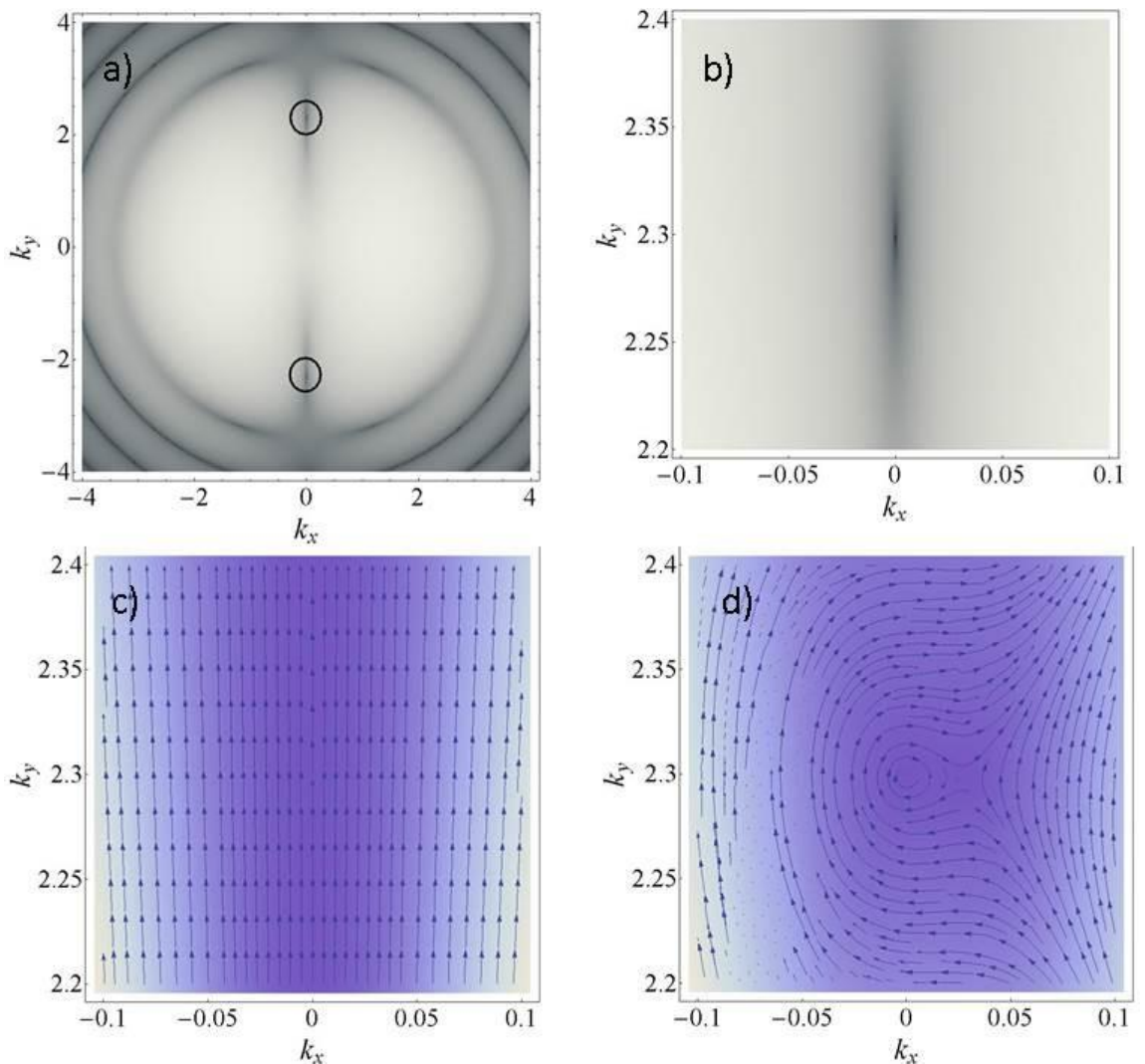


Рис. 1. а) и б): распределение по импульсам фотоэлектрона  $\ln\left(\left|\tilde{\Psi}(k_x, k_y, t > T)\right|^2\right)$ . Векторные поля для стандартного потока вероятности  $\mathbf{j}(k_x, k_y, t > T)$  в) и «симметричного» потока  $\bar{\mathbf{j}}(k_x, k_y, t > T)$  д).

Совсем по-другому выглядит векторное поле, полученное с помощью «симметричного» потока Рис.1д). Отчётливо видно, что вокруг нуля волновой функции поле  $\bar{\mathbf{j}}(k_x, k_y, t > T)$  имеет вихревую структуру, близкую к соленоидальной.

**Заключение.** Таким образом, в данной статье показано, что с помощью «симметричного» выражения для потока вероятности  $\bar{\mathbf{j}}(\mathbf{k}, t)$  (7), введённого в работе [11], возможно идентифицировать квантовые вихри в импульсном пространстве.

## **Список литературы**

- [1] F. Cajiao Vélez, Lei Geng, J.Z. Kamiński, Liang-You Peng, K. Krajewska, Phys. Rev. A, **102**, 043102 (2020). DOI: 10.1103/PhysRevA.102.043102.
- [2] F. Cajiao Vélez, Phys. Rev. A, **104**, 043116 (2021). DOI: 10.1103/PhysRevA.104.043116.
- [3] Lei Geng, F. Cajiao Vélez, J.Z. Kamiński, Liang-You Peng, K. Krajewska, Phys. Rev. A, **104**, 033111 (2021). DOI: 10.1103/PhysRevA.104.033111.
- [4] S.Yu. Ovchinnikov, N.V. Larionov, A.A. Smirnovsky, A.A. Schmidt, St. Petersburg Polytechnical State University Journal. Physics and Mathematics, **10** (4), 111-121 (2017). DOI: 10.18721/JPM.10409.
- [5] N.V. Larionov, A.A. Smirnovsky, S.Y. Ovchinnikov, A.A. Schmidt, Tech. Phys., **63** (11), 1569-1575 (2018). DOI: 10.1134/S1063784218110166.
- [6] N.V. Larionov, A.A. Smirnovsky, D.N. Makarov, S.Y. Ovchinnikov, JETP, **129** (6), 949-955 (2019). DOI: 10.1134/S1063776119110062.
- [7] J.H. Macek, J.B. Sternberg, S.Y. Ovchinnikov, J.S. Briggs, Phys. Rev. Lett., **104** (3), 033201 (2010). DOI: 10.1103/PhysRevLett.104.033201.
- [8] F. Navarrete, R. Della Picca, J. Fiol, R.O. Barrachina, J. Phys. B: At. Mol. Opt. Phys., **46** (11), 115203 (2013). DOI: 10.1088/0953-4075/46/11/115203.
- [9] F. Navarrete, R.O. Barrachina, Nucl. Instr. and Meth. in Phys. Res. B, **369**, 72-76 (2016). DOI: 10.1016/j.nimb.2015.09.073.
- [10] C.M. DeMars, S.J. Ward, J. Colgan, S. Amami, D.H. Madison, Atoms, **8** (2), 26 (2020). DOI: 10.3390/atoms8020026.
- [11] R.F. Nalewajski, J Math Chem, **53**, 1966–1985 (2015). DOI: 10.1007/s10910-015-0526-2.